

III-6

しらすのせん断特性に及ぼすサクシヨンの影響について

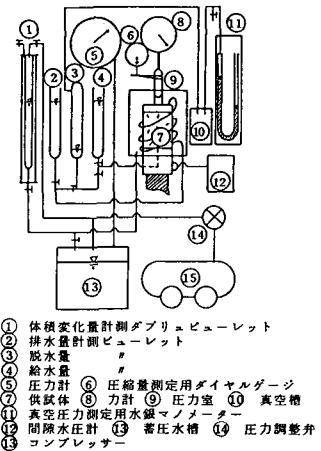
山口大学 正員 村田 秀一
 鹿児島高専 正員 岡林 巧
 鹿児島高専 学生員 ○水元 政仁
 鹿児島高専 学生員 森下 哲郎

1. まえがき

南九州は日本でも有数の多雨地域に属し、豪雨期におけるしらす斜面の崩壊災害の多発性は、よく知られている¹⁾。ところがこのしらす斜面は常時においてほとんどが不飽和状態で安定を保持しているのである。不飽和土の力学的性質の研究は、これまでに各所で行なわれているが、不飽和土は固相、液相及び気相の三相から成っているため、力水作用したときの挙動はかなり複雑なものである。したがって、不飽和土の強度試験法ならびに強度定数のとり方は、さまざまで解析法も統一されたものではない。本研究は、しらす斜面中の雨水の不飽和流動に起因するサクシヨンの変動とせん断強度の変化に着目して主として考察したものである。

2. 試料及び試験方法

試料は鹿児島県姶良郡溝辺町産の蛤殻しらすである。試料の状態は、乱した状態と乱さない状態の2種類とした。乱したしらすの供試体は2000 μ m以下の粒径のものを所定の密度に振動締めた。乱さないしらす供試体は、原位置においてしらす用カッターモールドを圧入することにより採取した。表-1に試料の条件及び試料の指数的性質を示す。飽和度の異なる供試体について図-1に示すような装置を用いて三軸圧縮試験を行なった。飽和の程度とサクシヨンのせん断強度に及ぼす影響を明らかにすることを主目的として行なったので、側圧は0.3 kgf/cm^2 を主とした。供試体の寸法は直径5cm、高之約12cmとした。せん断試験に先立ち供試体を約24時間飽和する。次に側圧 $\sigma_3 = 0.3\text{kgf/cm}^2$ をかけた等方圧密を行なった後、所定の飽和度にするために、乾燥剤を通した空気を通し吸引脱水した。せん断試験は側圧一定の上部排水条件で行なった。せん断速度は、過剰間隙水圧の発生しない0.1 mm/min とした。特にサクシオンは下部ベテスタルのセラミック板(エア-エントリーバルブ-2.0 kgf/cm^2)を通じた半導体圧力変換器を用いて負の間隙水圧として計測した。



① 体積変化計測用ダブリュビューレット
 ② 排水量計測用ビューレット
 ③ 排水量計測用ビューレット
 ④ 排水量計測用ビューレット
 ⑤ 排水量計測用ビューレット
 ⑥ 圧縮量測定用ダイヤルゲージ
 ⑦ 供試体
 ⑧ 圧力室
 ⑨ 圧力室
 ⑩ 圧力室
 ⑪ 真空槽
 ⑫ 真空圧力測定用水銀マンometry
 ⑬ 間隙水圧計
 ⑭ 若圧水筒
 ⑮ 圧力調整弁
 ⑯ コンプレッサー

図-1 不飽和用三軸圧縮試験装置

表-1 試験の条件及び試料の指数的性質

条件	試験番号	1	2	3	4	5	6	7	8	9	10	11	12	13
側 圧 σ_3 (kgf/cm^2)		0.3	0.3	0.3	0.3	0.3	0.3	0.3	1.0	2.0	0.3	1.0	0.3	0.3
初期飽和度 S_{re} (%)		9.46	3.05	6.11	3.41	2.60	20.04	42.93	39.69	45.49	43.48	51.75	46.25	43.77
間 隙 比 e_0		0.920	0.920	0.920	0.860	0.940	0.870	0.930	0.840	0.860	0.920	0.870	0.910	0.840
土粒子の比重 G_s		2.43	2.41	2.41	2.41	2.41	2.41	2.41	2.41	2.41	2.41	2.41	2.41	2.41
初期含水比 w_0 (%)		3.61	1.17	2.34	1.21	1.01	7.24	16.56	13.90	16.26	16.55	18.72	17.40	15.30
乾燥密度 ρ_d (g/cm^3)		1.256	1.253	1.253	1.293	1.244	1.288	1.249	1.307	1.296	1.257	1.286	1.264	1.308
試料の状態		乱した	乱した	乱した	乱した	乱さない								

表-2 試験結果

結果	試験番号	1	2	3	4	5	6	7	8	9	10	11	12	13
側 圧 σ_3 (kgf/cm^2)		0.3	0.3	0.3	0.3	0.3	0.3	0.3	1.0	2.0	0.3	1.0	0.3	0.3
最大主応力 σ_1 (kgf/cm^2)		2.440	2.775	2.155	2.020	1.825	4.550	3.970	9.345	16.410	3.989	9.492	3.489	2.585
応力比 (σ_1/σ_3) _{peak}		8.133	9.250	7.217	6.730	6.083	15.167	13.232	9.442	8.205	13.297	9.492	11.630	8.630
主応力差 $(\sigma_1 - \sigma_3)$ (kgf/cm^2)		2.140	2.472	1.865	1.720	1.525	4.250	3.670	8.442	14.410	3.689	8.492	3.189	2.285
ポアソン係数 $(dv/d\epsilon)$		0.870	0.882	0.326	0.942	0.528	1.500	1.538	1.072	0.709	1.744	0.932	0.933	0.974
最終飽和度 S_{rf} (%)		21.8	47.9	63.0	84.3	100.8	33.7	50.5	55.8	56.9	59.0	60.9	90.5	98.5
最終含水比 w_f (%)		8.91	19.11	33.10	31.65	38.93	13.71	20.91	20.54	19.31	24.26	21.66	36.10	37.74
液性限界 LL (kgf/cm^2)		-0.234	-0.070	-0.268	-0.015	-0.034	-0.207	-0.160	-0.204	-0.112	-0.141	-0.112	-0.053	-0.015

3. 試験結果と考察

側圧 $\sigma_3 = 0.3\text{kgf/cm}^2$ の条件での飽和度の違いによる応力円を乱したしらすと乱さないしらすに関して示したものが図-2である。同程度の飽和度について応力円を比較すると乱さないしらすが乱したしらすのそれよりかなり大きい値を示している。これは主として粒子間の固結効果に起因するものと考えられる。図-3は乱したしらすと乱さないしらすに関する三軸圧縮特性を示したものである。軸差応力 $(\sigma_1 - \sigma_3)$ 、体積ひずみ $(\Delta V/V)$ と軸ひずみ (ϵ) との関係は、不飽和状

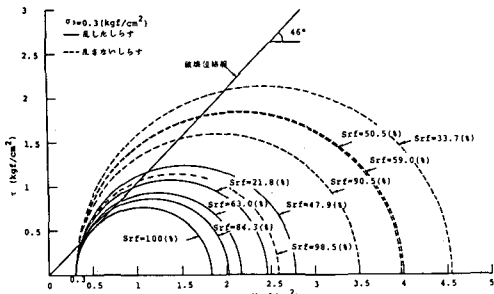


図-2 乱したしらすと風さないしらすの応力円

態でのしらすに関して各所で行なわれたこれまでの研究^{2,3)}とは同様な傾向を示した。サクション(Su)は乱したしらす、風さないしらすとも初期に変化が認められるが、軸ひずみの増大とともに定常値化する傾向を示している。このことから、同一飽和度におけるサクションは、載荷応力状態にかかわらずほぼ一定値を示すものと考えられる。

図-4は、破壊時の軸差応力 $(\sigma_1 - \sigma_3)$ 、ダイレイタンシー補正した軸差応力 $(\sigma_1 - \sigma_3)_f$ 、サクション(Suf)、ダイレイタンシー指数 $(dv/d\sigma)$ 及び増加有効側圧 $(\sigma_1 - \sigma_3)_f$ と飽和度(Sr)の関係を示したものである。この図から破壊時の軸差応力及びダイレイタンシー指数は、飽和度の低下とともに増大することが判る。このことは、まき土と同様にしらすにおいても飽和度の増大とともに粒子破砕量が増加することに起因しているものと考えられる。したがって、乱したしらすに関するダイレイタンシー補正後の軸差応力は、Rowe⁴⁾の提案した応力、ダイレイタンシー式により求めることにした。図から明確ではないが軸差応力の最大値は、飽和度50%程度と考えられる。次に、乱したしらすに関するサクションは飽和度の低下とともに増大し、最大値が飽和度40~50%にあるものと考えられる。このサクションの最大値は、およそ 0.3 kgf/cm^2 にも達し側圧値に匹敵することは特記すべきことである。また、増加有効側圧は、飽和時での破壊包絡線と定め、次いで任意の飽和度の試験結果と同様にダイレイタンシー補正しMohrの応力円を描き、先に求めた破壊包絡線に接するように移動することから定まる最小主応力を求めることにより決定した。増加有効側圧の最大値は飽和度約60%にあると判断される。

最後に本研究を行なうにあたり山口大学工学部三浦哲彦教授に御助言をいただいた。また実験においては、山口大学工学部宮福規之助手に御協力を受けた。ここに深甚の謝意を表す。なお、この研究は昭和58年度文部省科学研究費の補助を受けて実施したものであることを付記する。

- 参考文献 1) 山内豊隆, 後藤忠雄, 松田泰, 村岡秀一: 昭和57年6月豪雨によるシラス斜面災害の特徴。昭和57年5月豪雨による鹿児島県内の土砂および土石流災害に関する調査研究報告, PP.29~35, 昭57年。
 2) 香山正寿: シラスのせん断特性に関する密度および含水比の影響について, 鹿児島大学農学部演習林報第2号, PP.15~22, 昭45年9月。
 3) 村岡秀一, 三浦哲彦, 宮福規之: 含水比変動に伴う土のせん断強度変化における寄因について, 土木学会誌38回年次, 第3部, PP.45~46, 昭58年。
 4) Rowe, P.W.: The Stress-Dilatancy Relation for Static Equilibrium of an Assembly of Particles in Contact, Proc. Royal Soc., London, Ser. A, Vol. 269, PP. 500-527, 1962.

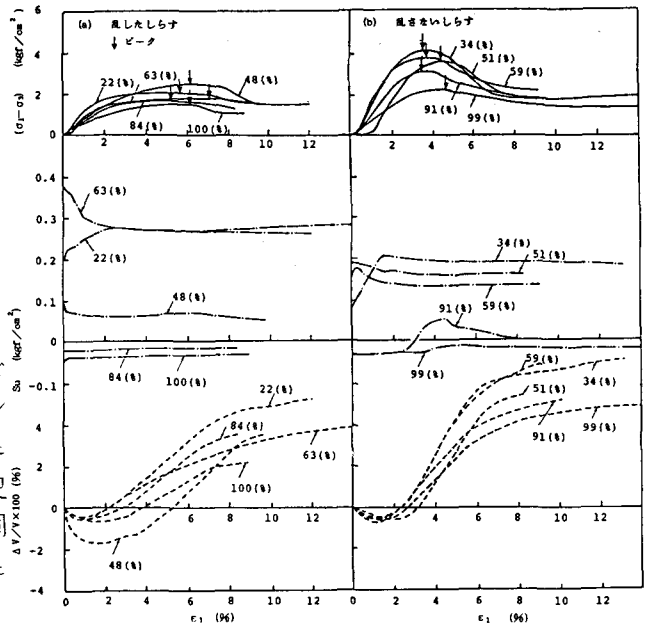


図-3 軸差応力, サクション及び体積変化と軸ひずみの関係

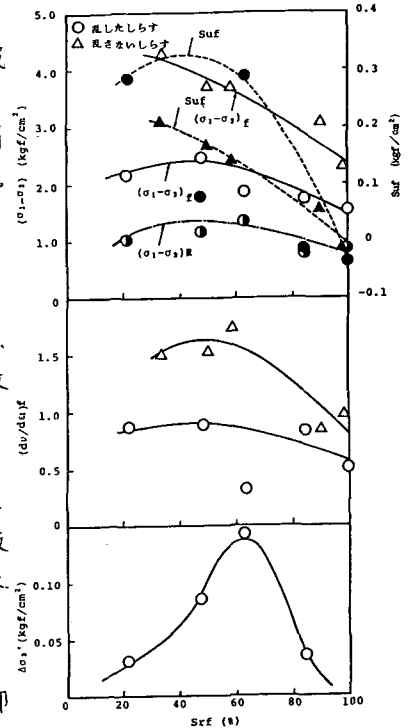


図-4 軸差応力, サクション, ダイレイタンシー指数及び増加有効側圧と飽和度の関係